

東京都立大学 正員 安川 浩
東京都立大学 正員 ○宇井 正和

1. まえがき 多数のライザーを有する管内振動流を解析するにあたり、振動の物理的特性や予測性を含む方法として、モード解析法を用いたが、その解釈手順については前報¹⁾に詳述した。今回は、管路が5本続く系を例にとって、モード解析の結果の信頼性を調べると共に、管路数が増した場合のこの解析法の煩雑さを克服し、より簡便に運算する方法について検討した。

2. モード解析と数値積分との比較 右図のようすが管路系における流量 Q_i に関する方程式は次式で表わされる。

$$\frac{dQ_i}{dt} = \frac{g A_{ci}}{l_i} (\bar{Q}_{i+1} - \bar{Q}_i) - \frac{g n_i^2}{A_{ci} R_i} Q_i^2 \quad (1)$$

$$\frac{d\bar{Q}_i}{dt} = \frac{1}{S_i} (Q_i - Q_{i-1}) \quad (2)$$

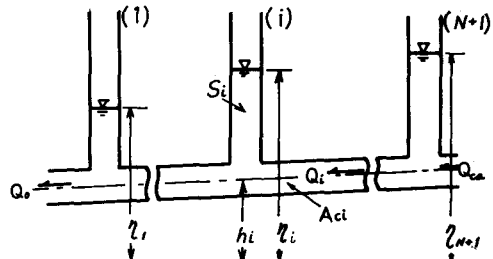


図 (1)

これらの式はマトリックス形式、 $[M]\{\ddot{Q}\} + [C]\{\dot{Q}\} + [K]\{Q\} = \{P\}$ で表わされ、 Q_i の変化が微少で、マトリ

ックス $[K]$ が対称行列である時は、 $\ddot{Q}_i + 2\omega_i h_i \dot{Q}_i + \omega_i^2 Q_i = P_i^*/M_i^*$ の解 q_i を用いて、 Q_i が、 $\{Q\} = [Y]\{q\}$ で求められる事は前報で述べた。ここに $[Y]$ はモードマトリックスであり、解 q_i は次式となる。

$$q_i(t) = e^{-\omega_i h_i t} \{ A_{1i} \sin \alpha_i t + A_{2i} \cos \alpha_i t \} + \text{特解} \quad (\alpha_i = \sqrt{\omega_i^2 - \omega_i^2 h_i^2}) \quad (3)$$

このようすモード解析による解がどの程度信頼性のあるものか確認するために、5次の自由度をもつ管路系を例にとって検討する。管路系の諸量は、 $l_i = 330 \text{ cm}$, $d = 10 \text{ cm}$, ($A_{ci} = S_i$), $n_i = 0.01$ であり、外力としての下流端流量 Q_o が、 $Q_o = \bar{Q}(1 - \alpha \sin \omega t)$ のように変化するとした。ここに \bar{Q} は初期流量、 α は Q_o に対する流量変動分の振幅の比、であり、ここでは 0.1 とした。基礎方程式を直接 Runge-Kutta-Gill 法で数値積分したもの

とモード解析による結果を比較してのが図(2)である。縦軸

はライザー内水位であり、横軸は外力の振動周期 ($2\pi/\omega$) を単位としたものである。ライザー内水面振動を求めには、 Q_i と(2)式へ代入して積分すればよく、積分定数は初期水位設定のために用いた。図から明らかのように、両者共極めて

よく一致している。非線形方程式を線形方程式と見なしたモード解析の結果が十分信頼出来た事が証明された。

3. モード解析の簡便化 モード解析法の応用においては、方程式の線形性、固有関数の直交性を期すために、管路系の諸量に条件を付けてそれを得る。(今回は l_i , S_i , A_{ci} , n_i が各々全て一定とした。)

しかし、それでもなお、固有関数を求める、 q_i とその中に含まれる積分定数 A_{1i} , A_{2i} の決定、さらに水位 q_i

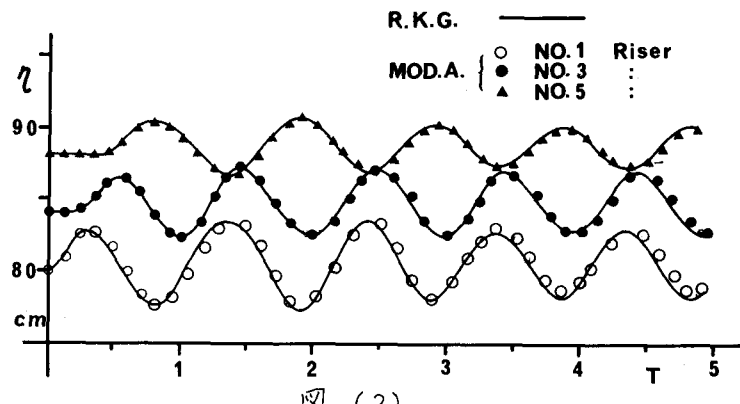


図 (2)

を求めるための $\hat{q}_i(t)$ の積分等かより面倒な計算を行わなければならぬし、管路数が増大すればその手間も膨大となる。管内流体振動を工学的見地から見に場合、全ての位相における水位変動よりも、その最大振幅が求められ、はば十分という事も多い。構造力学での歪みや変位、地震波形の解析等では、固有値の小さい方のいくつかの固有関数を加え合わせて運動形態を把握する方法が通常用いられるが、ライザー内水面振動の場合には、 $\hat{q}_i(t)$ の積分値が必要となるため、 $\hat{q}_i(t)$ 内の定数項の積分値が時間と共に増大し、一部の固有関数の組合せだけでは発散してしまい、結果が得られなくなる。つまり固有関数の一部を省略する事は不可能である。

それ故、 $\hat{q}_i(t)$ を積分して形 ($\hat{q}_i(t)$ で表わす) から計算を簡略化する事を考へる。 $\hat{q}_i(t)$ は(3)式を積分すればよいが、特解を具体化するため Q_i を前記の形で表わされるとした。 $\hat{q}_i(t)$ は次式となる。

$$\hat{q}_i(t) = \frac{-1}{\omega_i^2} e^{-\omega_i h_i t} \left\{ (A_{1i} \alpha_i + A_{2i} \omega_i h_i) \cos \alpha_i t + (A_{1i} \omega_i h_i - A_{2i} \alpha_i) \sin \alpha_i t \right\} + \frac{1}{\omega_i} \{ C_i \sin \omega_i t + D_i \cos \omega_i t \} + E_i t \quad (4)$$

$$C_i = \frac{\delta_i \alpha_i \cdot 2 \omega_i h_i \omega}{(\omega_i^2 - \omega^2)^2 + 4 \omega_i^2 h_i^2 \omega^2}, \quad D_i = \frac{\delta_i \alpha_i (\omega_i^2 - \omega^2)}{(\omega_i^2 - \omega^2)^2 + 4 \omega_i^2 h_i^2 \omega^2}, \quad E_i = \frac{\gamma_i}{\omega_i^2}, \quad P_i = \gamma_i - \delta_i \sin \omega_i t \quad (5)$$

γ_i, δ_i は外力 P_i の式を分解して時の定数部分と、 $\sin \omega_i t$ の係数である。

管内振動が固有周期の影響を受けるのは、時間がある程度経過した後と考えられる。すると(4)式のオ一項は、角速度 ω_i の周期運動が $\exp(-\omega_i h_i t)$ で減衰していく事を示し、さらに ω_i^2 で除しているので大きな固有値の影響は相対的に小さくなれる。即ち、外力が作用してからある程度時間が経つと $\hat{q}_i(t)$ のオ一項は微少量と考えられ、結局(4)式は次式で近似できる。

$$\hat{q}_i(t) \approx \frac{1}{\omega_i} \{ C_i \sin \omega_i t + D_i \cos \omega_i t \} + E_i t \quad (6)$$

図(3)は、 $\hat{q}_i(t)$ に対する完全式(4)と、近似式(6)の値の差を振動振幅で除して % で表わしたものと、外力の振動回数上にプロットしたものである。図からわかるように、値のスレは最初極めて大きいが、振動がくぐ返されるにつれて急速に小さくなり、今周期ごろには ±3% 以内に入っている。即ち、水面振動の特徴を簡単に見ると、外力の振動周期の 4 倍あたりの時間で(6)式を用いれば、十分な精度の結果が期待出来る。又(6)式を用いる利点として以下の事が云える。(4)式のオ一項には積分定数 A_{1i}, A_{2i} が含まれておらず、これらは初期条件

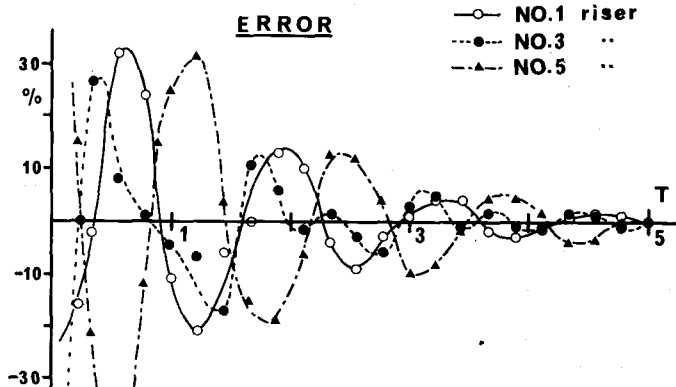


図 (3)

($Q_i(0) = \text{const.}, dQ_i(0)/dt$) から求めなければならない計算が煩雑である。オニ項以下の C_i, D_i, E_i は固有値と外力の形が決まれば段階で(5)式から求まる。それ故(6)式によって簡単に水位変動が計算出来た。

4. まとめ 1). モード解析の多自由度管内振動への応用は、マトリックス[K]の対称性と微小振幅の仮定の成立範囲について、R.K.G. 法による数値解とよく一致し、誤差の小さな結果が得られる。2). 時間たが外力の周期の 4 倍以上なら、 $\hat{q}_i(t)$ に関する微分方程式の“特解”のみを用いる事によって 3% 以内の精度で容易に値を求める事が出来る。今回はマトリックス[K]の対称性を仮定したが、今後、より一般的な管路本数や管路網への適用が課題として残されている。

5. 参考文献 (1) オ36回年講. 1981 (2) 有限要素法による振動解析 戸川 サイエンス社